



# INSTITUTO TECNOLÓGICO AUTÓNOMO DE MÉXICO

## Optimización Numérica | Proyecto 1 – Reporte

Juan Carlos Sigler

Alonso Martinez

Paulina Carretero

### Índice general

<b>1</b>	<b>Marco teórico</b>	<b>1</b>
<b>2</b>	<b>Problemas</b>	<b>2</b>
2.1	Problema 1: Problema chico . . . . .	2
2.2	Problema 2: Klee-Minty . . . . .	2
2.3	Problema 3: Problema Woodinfe . . . . .	4
<b>3</b>	<b>Conclusiones</b>	<b>10</b>
3.0.1	Algunos comentarios y aclaraciones . . . . .	10

## 1 Marco teórico

En el presente documento discutimos una implementación del algoritmo del conjunto activo para resolver problemas de programación cuadrática con restricciones tanto de igualdad como desigualdad, como en el problema (P) a continuación:

$$\begin{aligned} \min \quad & \frac{1}{2} \vec{x}^\top G \vec{x} + \vec{c}^\top \vec{x} \\ \text{sujeto a} \quad & Ax_i = b_i \quad i \in \mathcal{E} \\ & Ax_j \leq b_j \quad j \in \mathcal{I} \end{aligned} \tag{P}$$

Nos servimos de las librerías `JUMP` [DHL17], y `MAT` del ecosistema `Julia` para aplicar el método Simplex y para leer archivos en formato `.mat` respectivamente. Adicionalmente llevamos a cabo *benchmarks* con el paquete `BenchmarkTools` para evaluar el desempeño de nuestro algoritmo y pruebas unitarias para hacer el proceso de desarrollo más fácil.

## 2 Problemas

Probamos nuestra implementación con tres problemas y presentamos los resultados de acuerdo a lo especificado en la asignación del proyecto.

### 2.1 Problema 1: Problema chico

$$\min q(x) = (x - 1)^2 + (y - 2.5)^2$$

Sujeto a

$$-x + 2y - 2 \leq 0$$

$$x + 2y - 6 \leq 0$$

$$x - 2y - 2 \leq 0$$

$$-x \leq 0$$

$$-y \leq 0$$

Con  $x_0 = (2, 0)^\top$  &  $W_0 = \{3\}$ .

Para este problema, nuestro algoritmo imprime lo siguiente:

```
1 Rama 1. ||d_k|| = 1.8, q(x) = -4.05, α=1.667
2 Rama 2.
3
4 Rama 1. ||d_k|| = 1.6, q(x) = -6.45, α=0.5k = 1
5 Rama 2. j = 2, μ=0.0
6
7 Concluyó método del conjunto activo en 2 iteraciones
8 El punto de paro fue:
9 2-element Vector{Float64}:
10  1.4
11  1.7
```

Obtenemos que el punto Karush-Kuhn-Tucker (KKT) es:

$$(\vec{x}^*, \vec{\mu}^*) = \left( \begin{bmatrix} 1.4 \\ 1.7 \end{bmatrix}, \begin{bmatrix} 0.399 \\ 0 \\ 0 \\ 0 \end{bmatrix} \right),$$

y se alcanza en dos iteraciones. El valor de la función objetivo en el óptimo es -1.60.

### 2.2 Problema 2: Klee-Minty

$$\begin{aligned} \min \quad & \frac{1}{2} \vec{x}^\top G \vec{x} - \sum_{i=1}^n x_i \\ \text{sujeto a} \quad & x_1 \leq 1 \\ & 2 \sum_{j=1}^{i-1} x_j + x_i \leq 2^i - 1, \quad i = 2, \dots, n \\ & x_1, \dots, x_n \geq 0 \end{aligned}$$

Sea  $n = 15$ . Aplica el método empezando con  $W_0$  un subconjunto aleatorio de 5 entradas de los últimos 10 restricciones de positividad.

Para encontrar  $W_0$  que cumple las restricciones impuestas usamos el siguiente comando:

```

1 W_0 = [falses(length(b)-10); rand((false, true), 10)]
2 # Ahora hay que asegurar que son exactamente 5
3 Δ = sum(W_0) - 5
4 if Δ < 0
5     # Faltan restricciones
6     candidates = findall(W_0 .== false)
7     # Eligiendo solo los que están entre las 10 restricciones de positividad
8     candidates = candidates[candidates .>= length(b) - 10]
9     selected = rand(candidates, abs(Δ))
10
11     W_0[selected] .= trues(abs(Δ))
12 elseif Δ > 0
13     # Hay que quitar
14     candidates = findall(W_0 .== true)
15     selected = rand(candidates, abs(Δ))
16
17     W_0[selected] .= falses(abs(Δ))
18 end

```

La selección es aleatoria, entonces la  $W_0$  que presentamos está sujeta a cambios, pero la presentamos con fines ilustrativos de cualquier manera.

```

1 julia>
2 Bool[0, 0, 0, 0, 0, 0, 0, 0, 0, 0, 0, 0, 0, 0, 0, 0, 0, 0, 0, 0, 1, 1, 0, 0, 1, 0, 0, 1, 0, 0, 1, 1]

```

Para este problema, nuestro algoritmo imprime lo siguiente:

```

1 julia> or = activeSetMethod(G, c, A, b, n_eq, W_0)
2 α = 0.0, j = 16
3
4 Rama 1. ||d_k|| = 10000.0, q(x) = 0.0, α=0.0k = 0
5 α = 0.0, j = 17
6
7 Rama 1. ||d_k|| = 10000.0, q(x) = 0.0, α=0.0k = 1
8 α = 0.0, j = 18
9
10 Rama 1. ||d_k|| = 10000.0, q(x) = 0.0, α=0.0k = 2
11 α = 0.0, j = 19
12
13 Rama 1. ||d_k|| = 10000.0, q(x) = 0.0, α=0.0k = 3
14 α = 0.0, j = 20
15
16 Rama 1. ||d_k|| = 10000.0, q(x) = 0.0, α=0.0k = 4
17 α = 0.0, j = 22
18
19 Rama 1. ||d_k|| = 10000.0, q(x) = 0.0, α=0.0k = 5
20 α = 0.0, j = 24
21
22 Rama 1. ||d_k|| = 10000.0, q(x) = 0.0, α=0.0k = 6
23 α = 0.0, j = 26
24
25 Rama 1. ||d_k|| = 10000.0, q(x) = 0.0, α=0.0k = 7
26 α = 0.0, j = 27
27
28 Rama 1. ||d_k|| = 10000.0, q(x) = 0.0, α=0.0k = 8
29 α = 0.0, j = 30
30
31 Rama 1. ||d_k|| = 10000.0, q(x) = 0.0, α=0.0k = 9
32 Rama 2. j = 1, μ=0.0
33
34 Concluyó método del conjunto activo en 10 iteraciones
35 El punto de paro fue:

```

```
36 15-element Vector{Float64}:
37  0.0
38  0.0
39  ⋮
40  0.0
```

El óptimo se obtiene en 10 iteraciones y el punto KKT es:

$$(\vec{x}^*, \vec{\mu}^*) = \left( \begin{bmatrix} 0 \\ 0 \\ \vdots \\ 0 \end{bmatrix}, \begin{bmatrix} 0 \\ 0 \\ \vdots \\ 1 \\ 1 \end{bmatrix} \right)$$

La representación completa del vector  $\vec{\mu}$  es

```
julia> print(Or_μ)
[0.0, 0.0, 0.0, 0.0, 0.0, 0.0, 0.0, 0.0, 0.0, 0.0, 0.0, 0.0, 0.0, 0.0, 1.0, 1.0, 1.0, 1.0, 1.0, 1.0, 1.0, 1.0, 1.0, 1.0, 1.0, 1.0]
```

El valor óptimo de la función objetivo en  $\vec{x}_*$  es 0.0.

Para este problema la rutina `quadprog` de MATLAB imprime:

```

1  >> quadprog(G,c,A,b)
2
3  Minimum found that satisfies the constraints.
4
5  Optimization completed because the objective function is non-decreasing in
6  feasible directions, to within the value of the optimality tolerance,
7  and constraints are satisfied to within the value of the constraint tolerance.
8
9
10 ans =
11
12     1.0e-10 *
13
14     0.2220
15     0.1175
16     0.0685
17     0.0744
18     0.1014

```

Nuestra solución coincide con la de MATLAB salvo error de redondeo.

### 2.3 Problema 3: Problema Woodinfe

$$\begin{array}{ll} \text{minimizar} & \frac{1}{2} \vec{x}^\top G \vec{x} + \vec{c}^\top \vec{x} \\ \text{sujeito a} & A \vec{x} = \vec{b} \\ & x_i \geq \ell_i \quad \text{si } \ell_i \text{ es finito,} \\ & x_i \leq u_i \quad \text{si } u_i \text{ es finito.} \end{array}$$

- Definimos  $J \subset I$  como sigue:

- Para  $x_j \geq \ell_j$  definimos  $|g_j(x_0)| \leq 8\varepsilon_m \max\{| \ell_j |, 1\} \implies j \in J$
- Para  $x_j \leq u_j$  definimos  $|g_j(x_0)| \leq 8\varepsilon_m \max\{| u_j |, 1\} \implies j \in J$

Donde  $\varepsilon_m$  es el épsilon de la máquina `eps(Float64)`.

A continuación presentamos el código que se utilizó para construir el problema y encontrar las restricciones que pertenecen a  $J$ . El código se presenta recortado (excluimos el código para obtener los datos del archivo .mat y comentarios aclaratorios) en interés de la brevedad, pero se puede encontrar código completo en el script incluido script3.ipynb.

```

1 n_eq = length(b)
2 A_eq = problem["A"]
3 G = I(length(c))
4
5 A = [A_eq; -I(length(l))]
6 b = [b; -l]
7
8 mask = isfinite(u)
9 A = [A; I(length(u))[mask, :]]
10 # Igual cambiando b para que dimensiones coincidan
11 b = [b; u[mask]]
12 b = b[:]
13
14 x_0 = linprog(A, b, n_eq)ε_m
15
16     = eps(Float64)
17
18 J_l = abs.(l - x_0) .<= 8 * ε_m * max.(abs.(l), ones(length(l)))
19
20 J_u = abs.(x_0 - u) .<= 8 * ε_m * max.(abs.(u), ones(length(u)))
21 J_u = J_u[isfinite(u)]
22
23 J = [J_l; J_u]
24
25 # Concatenando con un índice aleatorio
26 R_index = rand(findall(J), 1)
27 notJ = falses(size(A, 1) - n_eq)
28 notJ[R_index] .= true
29 W_0 = [trues(n_eq); notJ]

```

De el cómputo anterior obtenemos  $W_0$  que documentamos a continuación a manera de ejemplo puesto que dada la naturaleza aleatoria del índice, puede cambiar.

[illegible]

Corriendo el algoritmo con las especificaciones dadas obtenemos el output que se imprime a continuación:

```

1 julia> or = activeSetMethod(G, c, A, b, n_eq, copy(W_0))
2  $\alpha = -0.0$ ,  $j = 38$ 
3
4 Rama 1.  $||d_k|| = 158.4$ ,  $q(x) = 90250.0$ ,  $\alpha = -0.0k = 0$ 
5  $\alpha = -0.0$ ,  $j = 39$ 
6
7 Rama 1.  $||d_k|| = 158.6$ ,  $q(x) = 90250.0$ ,  $\alpha = -0.0k = 1$ 
8  $\alpha = -0.0$ ,  $j = 40$ 
9
10 Rama 1.  $||d_k|| = 159.3$ ,  $q(x) = 90250.0$ ,  $\alpha = -0.0k = 2$ 
11  $\alpha = -0.0$ ,  $j = 42$ 
12
13 Rama 1.  $||d_k|| = 160.2$ ,  $q(x) = 90250.0$ ,  $\alpha = -0.0k = 3$ 
14  $\alpha = -0.0$ ,  $j = 43$ 
15

```

```

16 Rama 1.  $||d_k|| = 160.9$ ,  $q(x) = 90250.0$ ,  $\alpha = -0.0k = 4$ 
17  $\alpha = -0.0$ ,  $j = 77$ 
18
19 Rama 1.  $||d_k|| = 161.7$ ,  $q(x) = 90250.0$ ,  $\alpha = -0.0k = 5$ 
20  $\alpha = -0.0$ ,  $j = 79$ 
21
22 Rama 1.  $||d_k|| = 161.7$ ,  $q(x) = 90250.0$ ,  $\alpha = -0.0k = 6$ 
23  $\alpha = -0.0$ ,  $j = 85$ 
24
25 Rama 1.  $||d_k|| = 161.7$ ,  $q(x) = 90250.0$ ,  $\alpha = -0.0k = 7$ 
26  $\alpha = -0.0$ ,  $j = 88$ 
27
28 Rama 1.  $||d_k|| = 162.0$ ,  $q(x) = 90250.0$ ,  $\alpha = -0.0k = 8$ 
29  $\alpha = -0.0$ ,  $j = 89$ 
30
31 Rama 1.  $||d_k|| = 162.8$ ,  $q(x) = 90250.0$ ,  $\alpha = -0.0k = 9$ 
32  $\alpha = -0.0$ ,  $j = 90$ 
33
34 Rama 1.  $||d_k|| = 162.8$ ,  $q(x) = 90250.0$ ,  $\alpha = -0.0k = 10$ 
35  $\alpha = -0.0$ ,  $j = 92$ 
36
37 Rama 1.  $||d_k|| = 162.8$ ,  $q(x) = 90250.0$ ,  $\alpha = -0.0k = 11$ 
38  $\alpha = -0.0$ ,  $j = 95$ 
39
40 Rama 1.  $||d_k|| = 162.8$ ,  $q(x) = 90250.0$ ,  $\alpha = -0.0k = 12$ 
41  $\alpha = -0.0$ ,  $j = 97$ 
42
43 Rama 1.  $||d_k|| = 162.8$ ,  $q(x) = 90250.0$ ,  $\alpha = -0.0k = 13$ 
44  $\alpha = -0.0$ ,  $j = 100$ 
45
46 Rama 1.  $||d_k|| = 162.8$ ,  $q(x) = 90250.0$ ,  $\alpha = -0.0k = 14$ 
47  $\alpha = -0.0$ ,  $j = 102$ 
48
49 Rama 1.  $||d_k|| = 162.8$ ,  $q(x) = 90250.0$ ,  $\alpha = -0.0k = 15$ 
50  $\alpha = -0.0$ ,  $j = 105$ 
51
52 Rama 1.  $||d_k|| = 162.8$ ,  $q(x) = 90250.0$ ,  $\alpha = -0.0k = 16$ 
53  $\alpha = -0.0$ ,  $j = 103$ 
54
55 Rama 1.  $||d_k|| = 162.9$ ,  $q(x) = 90250.0$ ,  $\alpha = -0.0k = 17$ 
56  $\alpha = -0.0$ ,  $j = 106$ 
57
58 Rama 1.  $||d_k|| = 162.8$ ,  $q(x) = 90250.0$ ,  $\alpha = -0.0k = 18$ 
59  $\alpha = -0.0$ ,  $j = 108$ 
60
61 Rama 1.  $||d_k|| = 162.8$ ,  $q(x) = 90250.0$ ,  $\alpha = -0.0k = 19$ 
62  $\alpha = -0.0$ ,  $j = 109$ 
63
64 Rama 1.  $||d_k|| = 162.8$ ,  $q(x) = 90250.0$ ,  $\alpha = -0.0k = 20$ 
65  $\alpha = -0.0$ ,  $j = 113$ 
66
67 Rama 1.  $||d_k|| = 162.6$ ,  $q(x) = 90250.0$ ,  $\alpha = -0.0k = 21$ 
68  $\alpha = -0.0$ ,  $j = 116$ 
69
70 Rama 1.  $||d_k|| = 162.6$ ,  $q(x) = 90250.0$ ,  $\alpha = -0.0k = 22$ 
71  $\alpha = -0.0$ ,  $j = 118$ 
72
73 Rama 1.  $||d_k|| = 162.6$ ,  $q(x) = 90250.0$ ,  $\alpha = -0.0k = 23$ 
74  $\alpha = -0.0$ ,  $j = 119$ 
75
76 Rama 1.  $||d_k|| = 162.6$ ,  $q(x) = 90250.0$ ,  $\alpha = -0.0k = 24$ 
77  $\alpha = -0.0$ ,  $j = 121$ 

```

```

78
79 Rama 1.  $||d_k|| = 162.6$ ,  $q(x) = 90250.0$ ,  $\alpha = -0.0k = 25$ 
80  $\alpha = -0.0$ ,  $j = 123$ 
81
82 Rama 1.  $||d_k|| = 162.6$ ,  $q(x) = 90250.0$ ,  $\alpha = -0.0k = 26$ 
83  $\alpha = 0.0$ ,  $j = 54$ 
84
85 Rama 1.  $||d_k|| = 162.6$ ,  $q(x) = 90250.0$ ,  $\alpha = 0.0k = 27$ 
86  $\alpha = 0.0$ ,  $j = 55$ 
87
88 Rama 1.  $||d_k|| = 162.6$ ,  $q(x) = 90250.0$ ,  $\alpha = 0.0k = 28$ 
89  $\alpha = 0.0$ ,  $j = 56$ 
90
91 Rama 1.  $||d_k|| = 132.7$ ,  $q(x) = 90250.0$ ,  $\alpha = 0.0k = 29$ 
92  $\alpha = 0.0$ ,  $j = 57$ 
93
94 Rama 1.  $||d_k|| = 105.2$ ,  $q(x) = 90250.0$ ,  $\alpha = 0.0k = 30$ 
95  $\alpha = 0.0$ ,  $j = 58$ 
96
97 Rama 1.  $||d_k|| = 105.2$ ,  $q(x) = 90250.0$ ,  $\alpha = 0.0k = 31$ 
98  $\alpha = 0.0$ ,  $j = 59$ 
99
100 Rama 1.  $||d_k|| = 105.2$ ,  $q(x) = 90250.0$ ,  $\alpha = 0.0k = 32$ 
101  $\alpha = 0.0$ ,  $j = 60$ 
102
103 Rama 1.  $||d_k|| = 105.2$ ,  $q(x) = 90250.0$ ,  $\alpha = 0.0k = 33$ 
104  $\alpha = 0.0$ ,  $j = 61$ 
105
106 Rama 1.  $||d_k|| = 105.2$ ,  $q(x) = 90250.0$ ,  $\alpha = 0.0k = 34$ 
107  $\alpha = 0.0$ ,  $j = 62$ 
108
109 Rama 1.  $||d_k|| = 105.2$ ,  $q(x) = 90250.0$ ,  $\alpha = 0.0k = 35$ 
110  $\alpha = 0.0$ ,  $j = 64$ 
111
112 Rama 1.  $||d_k|| = 105.2$ ,  $q(x) = 90250.0$ ,  $\alpha = 0.0k = 36$ 
113  $\alpha = 0.0$ ,  $j = 65$ 
114
115 Rama 1.  $||d_k|| = 105.2$ ,  $q(x) = 90250.0$ ,  $\alpha = 0.0k = 37$ 
116  $\alpha = 0.0$ ,  $j = 66$ 
117
118 Rama 1.  $||d_k|| = 105.2$ ,  $q(x) = 90250.0$ ,  $\alpha = 0.0k = 38$ 
119  $\alpha = 0.0$ ,  $j = 67$ 
120
121 Rama 1.  $||d_k|| = 105.2$ ,  $q(x) = 90250.0$ ,  $\alpha = 0.0k = 39$ 
122  $\alpha = 0.0$ ,  $j = 68$ 
123
124 Rama 1.  $||d_k|| = 105.2$ ,  $q(x) = 90250.0$ ,  $\alpha = 0.0k = 40$ 
125  $\alpha = 0.0$ ,  $j = 69$ 
126
127 Rama 1.  $||d_k|| = 105.2$ ,  $q(x) = 90250.0$ ,  $\alpha = 0.0k = 41$ 
128  $\alpha = 0.0$ ,  $j = 70$ 
129
130 Rama 1.  $||d_k|| = 94.16$ ,  $q(x) = 90250.0$ ,  $\alpha = 0.0k = 42$ 
131  $\alpha = 0.0$ ,  $j = 71$ 
132
133 Rama 1.  $||d_k|| = 87.21$ ,  $q(x) = 90250.0$ ,  $\alpha = 0.0k = 43$ 
134  $\alpha = 0.0$ ,  $j = 72$ 
135
136 Rama 1.  $||d_k|| = 59.18$ ,  $q(x) = 90250.0$ ,  $\alpha = 0.0k = 44$ 
137  $\alpha = 0.0$ ,  $j = 125$ 
138
139 Rama 1.  $||d_k|| = 26.0$ ,  $q(x) = 90250.0$ ,  $\alpha = 0.0k = 45$ 

```

```

140  $\alpha = 0.0$ ,  $j = 132$ 
141
142 Rama 1.  $||d_k|| = 15.75$ ,  $q(x) = 90250.0$ ,  $\alpha=0.0k = 46$ 
143  $\alpha = 0.0$ ,  $j = 133$ 
144
145 Rama 1.  $||d_k|| = 15.75$ ,  $q(x) = 90250.0$ ,  $\alpha=0.0k = 47$ 
146  $\alpha = 0.0$ ,  $j = 136$ 
147
148 Rama 1.  $||d_k|| = 15.75$ ,  $q(x) = 90250.0$ ,  $\alpha=0.0k = 48$ 
149  $\alpha = 0.0$ ,  $j = 137$ 
150
151 Rama 1.  $||d_k|| = 15.75$ ,  $q(x) = 90250.0$ ,  $\alpha=0.0k = 49$ 
152  $\alpha = 0.0$ ,  $j = 138$ 
153
154 Rama 1.  $||d_k|| = 15.75$ ,  $q(x) = 90250.0$ ,  $\alpha=0.0k = 50$ 
155  $\alpha = 3.832$ ,  $j = 75$ 
156
157 Rama 1.  $||d_k|| = 9.6$ ,  $q(x) = 90080.0$ ,  $\alpha=3.832$ 
158 Rama 2.
159  $\alpha = 0.8197$ ,  $j = 128$ 
160
161 Rama 1.  $||d_k|| = 61.0$ ,  $q(x) = 82880.0$ ,  $\alpha=0.8197k = 52$ 
162 Rama 2.
163  $\alpha = 1.274$ ,  $j = 78$ 
164
165 Rama 1.  $||d_k|| = 39.25$ ,  $q(x) = 79790.0$ ,  $\alpha=1.274$ 
166 Rama 2.
167  $\alpha = 1.598$ ,  $j = 127$ 
168
169 Rama 1.  $||d_k|| = 42.33$ ,  $q(x) = 76430.0$ ,  $\alpha=1.598$ 
170 Rama 2.
171  $\alpha = 0.3265$ ,  $j = 129$ 
172
173 Rama 1.  $||d_k|| = 30.62$ ,  $q(x) = 75480.0$ ,  $\alpha=0.3265k = 55$ 
174 Rama 2.
175  $\alpha = 1.869$ ,  $j = 107$ 
176
177 Rama 1.  $||d_k|| = 26.75$ ,  $q(x) = 74050.0$ ,  $\alpha=1.869$ 
178 Rama 2.
179  $\alpha = 2.667$ ,  $j = 38$ 
180
181 Rama 1.  $||d_k|| = 43.12$ ,  $q(x) = 72560.0$ ,  $\alpha=2.667$ 
182 Rama 2.
183  $\alpha = 2.667$ ,  $j = 99$ 
184
185 Rama 1.  $||d_k|| = 31.16$ ,  $q(x) = 71300.0$ ,  $\alpha=2.667$ 
186 Rama 2.
187  $\alpha = 2.593$ ,  $j = 36$ 
188
189 Rama 1.  $||d_k|| = 38.57$ ,  $q(x) = 70130.0$ ,  $\alpha=2.593$ 
190 Rama 2.
191  $\alpha = 3.558$ ,  $j = 76$ 
192
193 Rama 1.  $||d_k|| = 19.4$ ,  $q(x) = 69640.0$ ,  $\alpha=3.558$ 
194 Rama 2.
195  $\alpha = 2.483$ ,  $j = 131$ 
196
197 Rama 1.  $||d_k|| = 40.27$ ,  $q(x) = 68390.0$ ,  $\alpha=2.483$ 
198 Rama 2.
199  $\alpha = 1.5$ ,  $j = 112$ 
200
201 Rama 1.  $||d_k|| = 10.0$ ,  $q(x) = 68190.0$ ,  $\alpha=1.5$ 

```



```

202 Rama 2.
203  $\alpha = 3.048$ ,  $j = 107$ 
204
205 Rama 1.  $||d_k|| = 15.72$ ,  $q(x) = 67900.0$ ,  $\alpha=3.048$ 
206 Rama 2.
207  $\alpha = 1.875$ ,  $j = 124$ 
208
209 Rama 1.  $||d_k|| = 10.67$ ,  $q(x) = 67730.0$ ,  $\alpha=1.875$ 
210 Rama 2.
211  $\alpha = 1.712$ ,  $j = 134$ 
212
213 Rama 1.  $||d_k|| = 8.0$ ,  $q(x) = 67620.0$ ,  $\alpha=1.712$ 
214 Rama 2.
215  $\alpha = 3.352$ ,  $j = 78$ 
216
217 Rama 1.  $||d_k|| = 12.98$ ,  $q(x) = 67460.0$ ,  $\alpha=3.352$ 
218 Rama 2.
219  $\alpha = 2.526$ ,  $j = 93$ 
220
221 Rama 1.  $||d_k|| = 5.937$ ,  $q(x) = 67410.0$ ,  $\alpha=2.526$ 
222 Rama 2.
223  $\alpha = 2.353$ ,  $j = 96$ 
224
225 Rama 1.  $||d_k|| = 4.25$ ,  $q(x) = 67370.0$ ,  $\alpha=2.353$ 
226 Rama 2.
227  $\alpha = 1.429$ ,  $j = 110$ 
228
229 Rama 1.  $||d_k|| = 3.5$ ,  $q(x) = 67350.0$ ,  $\alpha=1.429$ 
230 Rama 2.
231  $\alpha = 2.27$ ,  $j = 86$ 
232
233 Rama 1.  $||d_k|| = 5.727$ ,  $q(x) = 67300.0$ ,  $\alpha=2.27$ 
234 Rama 2.
235  $\alpha = 2.077$ ,  $j = 117$ 
236
237 Rama 1.  $||d_k|| = 4.816$ ,  $q(x) = 67270.0$ ,  $\alpha=2.077$ 
238 Rama 2.
239  $\alpha = 3.327$ ,  $j = 77$ 
240
241 Rama 1.  $||d_k|| = 5.524$ ,  $q(x) = 67240.0$ ,  $\alpha=3.327$ 
242 Rama 2.
243  $\alpha = 1.595$ ,  $j = 101$ 
244
245 Rama 1.  $||d_k|| = 3.135$ ,  $q(x) = 67220.0$ ,  $\alpha=1.595$ 
246 Rama 2.
247  $\alpha = 4.201$ ,  $j = 104$ 
248
249 Rama 1.  $||d_k|| = 1.19$ ,  $q(x) = 67220.0$ ,  $\alpha=4.201$ 
250 Rama 2.
251  $\alpha = 3.165$ ,  $j = 101$ 
252
253 Rama 1.  $||d_k|| = 1.279$ ,  $q(x) = 67220.0$ ,  $\alpha=3.165$ 
254 Rama 2.
255  $\alpha = 9.982$ ,  $j = 113$ 
256
257 Rama 1.  $||d_k|| = 0.9649$ ,  $q(x) = 67220.0$ ,  $\alpha=9.982$ 
258 Rama 2.  $j = 1$ ,  $\mu=0.0$ 
259
260 Concluyó método del conjunto activo en 77 iteraciones
261 El punto de paro fue:
262 89-element Vector{Float64}:
263 51.47

```

```

264 47.0
265 49.53
266 50.0
267 :
268 3.734e-13
269 6.455
270 9.264e-14
271 9.333

```

El punto óptimo completo es:

```

1 julia> print(round.(x_star; sigdigits=4))
2 [51.47, 47.0, 49.53, 50.0, 10.0, 49.47, 43.0, 49.53, 25.0, 10.0, 35.0, 44.26, 34.46, 20.0, 5.0, 26.27, 30.0, 65.0, 100.0, 100.0, 90.0, 50.0, 10.0, 20.0, 25.0, 10.0, 15.0, 0.0, 50.0, 40.0, 20.0, 5.0, 15.0, 20.0, 25.0, 30.0, 20.0, 0.0, 42.69, 20.72, 33.06, 6.07, 15.19, 2.479, 10.0, 15.0, 43.8, 15.64, 25.32, 33.54, 3.636, 7.87, 12.67, 5.727, 1.279, 39.27, -1.482e-14, 11.28, 9.667, 37.64, 7.182, 7.479, 9.667, 22.14, 2.818, 1.242, 10.67, 15.96, 3.9, 15.33, 1.1, 18.7, 5.956e-14, 0.9649, 4.364, 9.506, 10.33, 4.333, 17.82, 10.71, 15.33, 4.702, 6.364, 6.061, 30.0, 3.734e-13, 6.455, 9.264e-14, 9.333]

```

con un valor óptimo de 108291.05, que se obtuvo en 77 iteraciones.

### 3 Conclusiones

Gracias a que verificamos los resultados utilizando la rutina `quadprog` de MATLAB y la librería JuMP, además de seguir un conjunto de pruebas unitarias, confiamos en que los resultados de nuestra implementación del algoritmo del conjunto activo es correcta y robusta. Adicionalmente, notamos que nuestra implementación es sumamente rápida.

Para investigar sobre el desempeño cuantitativamente utilizamos el paquete `BenchmarkTools`, y a continuación presentamos los resultados de un *benchmark*. Un *benchmark* consiste en un número definido de *samples*, de los cuales se mide el tiempo de ejecución excluyendo el tiempo que toma preparar los datos. Abajo presentamos los resultados de un *benchmark* aplicado a el problema 3, que es el el más grande del cual disponemos.

```

1 BenchmarkTools.Trial: 42 samples with 1 evaluation.
2 Range (min ... max): 102.039 ms ... 196.765 ms | GC (min ... max): 0.00% ... 8.27%
3 Time (median): 120.942 ms | GC (median): 13.35%
4 Time (mean ± σ): 121.101 ms ± 18.822 ms | GC (mean ± σ): 8.36% ± 6.81%
5
6 Memory estimate: 45.41 MiB, allocs estimate: 36556.

```

Como podemos ver, en 42 *samples* nuestra implementación del algoritmo toma en promedio 121 ms! Además, asigna alrededor de 24 MiB de memoria en total, lo cual es sumamente razonable tomando en cuenta la dimensión del problema. Todo esto gracias a el uso de matrices *sparse*. En la figura 1 se puede ver un histograma de la frecuencia de tiempos de ejecución.

#### 3.0.1 Algunos comentarios y aclaraciones

Puesto que no suponemos familiaridad con el lenguaje Julia queremos dar comentarios para hacer más sencilla su interacción con él en caso de que quiera reproducir los resultados mediante los jupyter notebooks provistos.

- Para añadir el kernel de Julia a Jupyter necesita una instalación de Julia y el paquete `IJulia`. Para desarrollar el proyecto usamos la versión 1.6.3 de Julia.
- Otros paquetes que usamos son:

- JuMP
- GLPK
- MAT

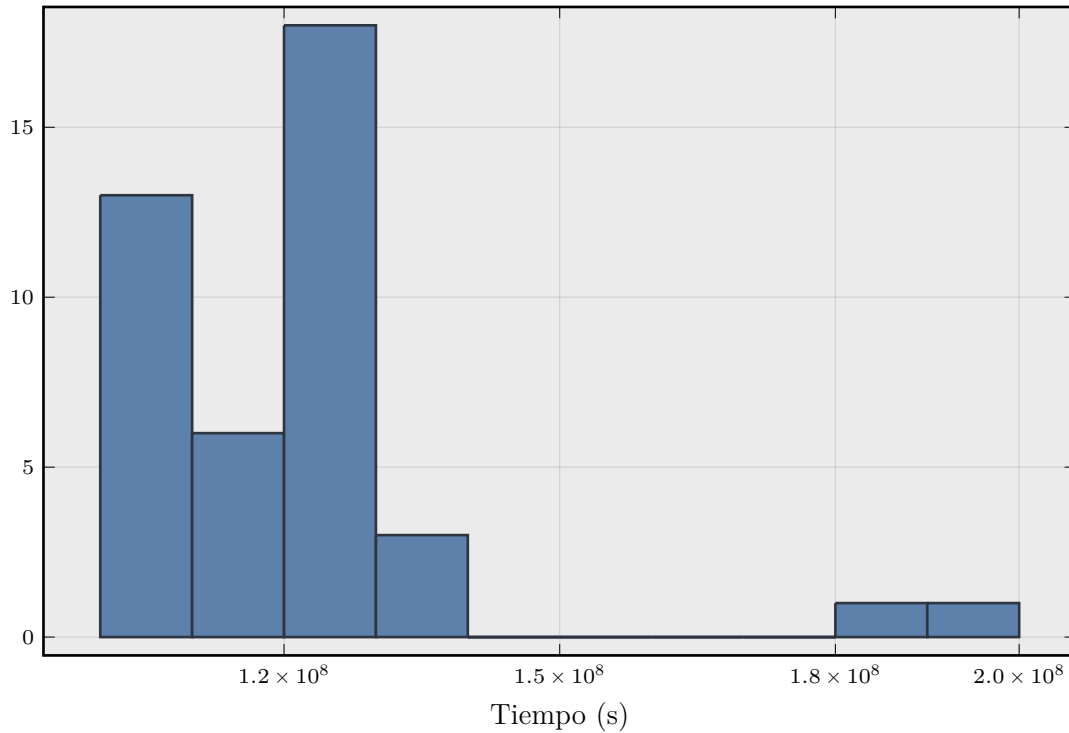


Figura 1: Histograma de frecuencia por tiempo

— BenchmarkTools (no esencial para probar el algoritmo)

Para evitarle el problema de instalarlos, puede seguir estos pasos:

1. Abrir un Julia REPL escribiendo `julia` en bash.
  2. Escribir `]` para que el prompt cambie de `julia>` a `pkg>`
  3. Escribir `activate .` en el prompt `pkg>`
- Julia es compilado *just in time*, por lo que al iniciarse y la primera vez que se llama una función que no ha sido compilada hay un tiempo de espera considerable. Le aseguramos que el programa no falló y podrá ver que las llamadas siguientes son mucho más rápidas.
  - Añadimos como apéndices a éste reporte la documentación de los métodos auxiliares usados en la implementación del algoritmo con la esperanza de hacerle amena la lectura del código fuente.
  - Julia permite usar caracteres unicode como identificadores, que aprovechamos para hacer más legible nuestro código. Si tiene problemas con caracteres faltantes o *artifacts*, le pedimos paciencia y sugerimos usar un emulador de terminal o font diferente.

## Referencias

- [DHL17] Iain Dunning, Joey Huchette y Miles Lubin. “JuMP: A Modeling Language for Mathematical Optimization”. En: *SIAM Review* 59.2 (2017), págs. 295-320. DOI: 10.1137/15M1020575.